

## 工作簡报及經驗交流

### 单能快中子全截面的測量

沈寄安 刘慰仁

#### 1. 引言

在核物理和核工程技術中，快中子全截面是一个基本参数。目前，許多作者已經进行了系統的測量，发表了大量工作<sup>[1-3]</sup>。但是，对某些元素，在某些能量范围内全截面数据或者空缺，或者所发表的一些結果互不符合<sup>[6-8]</sup>。因此，掌握可靠的測量快中子全截面的方法，是具有一定意义的。測量全截面随原子量和能量的变化，可以为核反应的光学模型提供实验数据；或者，通过测量到的共振峯，研究复合核的能級。

全截面的測量原理是根据中子通量在物质中按指数衰減的規律，測量透射率( $T$ )，从而按下式求得全截面( $\sigma$ )：

$$T = \frac{N - N_B}{N_0 - N_B} = e^{-n\sigma l}, \quad (1)$$

式中 $N$ 为中子束上有样品时的計数； $N_0$ 为中子束上无样品时的計数； $N_B$ 为本底計数； $l$ 为样品的厚度； $n$ 为样品单位体积內的原子核数。

实验的几何条件及本底，往往是引起測量結果不可靠的重要因素。因此，我們采用了好的几何条件及有机閃爍計數器的粒子分辨技术<sup>[9,10]</sup>，使本底变得比較簡單，并且能够正确加以測量，从而提高了測量結果的可靠性和精确度。

#### 2. 实驗裝置

利用高压加速管，加速氘离子束，轰击氘钛靶和氘鎂靶，分別得到能量为 2.8 兆电子伏 [D(d, n)He<sup>3</sup> 反应] 和 14.7 兆电子伏 [T(d, n)He<sup>4</sup> 反应] 的单能中子。加速管高压为 85 千伏，束流可达 100 微安，中子产額在用氘靶时約  $5 \times 10^6$  中子/秒，氘靶时約  $5 \times 10^7$  中子/秒。

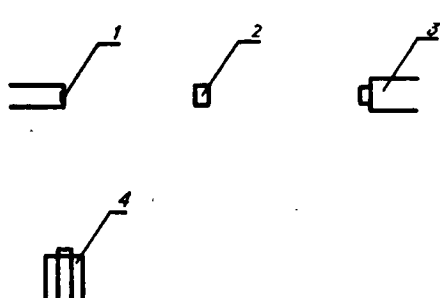


图 1 实驗裝置

实验装置如图 1 所示。靶室为一个直径 3 厘米、壁厚 0.5 毫米、底部密封的銅管，里面用一个不銹鋼套筒将靶压在銅管底部，外面冲水冷却。探测器位于氘离子束的 0° 方向，距靶 70 厘米。样品放在源与探测器之間，直径 3 厘米，厚度取得使透射率为 0.3 至 0.7；样品材料經過半定量分析，純度在 99.9% 以上。中子通量由位于 90° 方向、距靶 1.2 米的 BF<sub>3</sub> 长中子計數管監視。靶距地面 1.7 米，除了支撑探测器和样品的两个鋁質支架外，靶和探测器周围力求減少物质，以減少散射本底。

中子探测器由直径 2.5 厘米、厚 1.2 厘米的锗晶体和 Φ3Y-33 型光电倍加管組成。根据锗

晶体內各種粒子引起的閃爍光脉冲快慢成分比例的差別，利用光电倍加管最后一个（即第 13 个）联极与收集极之間的空間电荷飽和状态，不同粒子形成的脉冲波形不同，在探测器上运用了粒子分辨技术。从光电倍加管的第 13 个联极上引出一个飽和脉冲，从第 8 个联极上引出一个線性脉冲，分別經放大、甄別后使两路符合，再送至定标器計数（图 2）。由于飽和脉冲經甄別后，仅只剩下中子引起的能量高于 1 兆电子伏的反冲質子，因此，定标器只記錄中子，而不記錄  $\gamma$  射綫和其他在晶体內电离密度小的粒子，从而消除了  $\gamma$  本底；天然本底也可以忽略不計。計數器的閾值 ( $B$ ) 由線性脉冲的甄別閾确定，选  $B/E_n \approx 0.6$ 。当中子能量为 14.7 兆电子伏时，由于中子能量較高，相应計數器的閾也較高 ( $B \approx 9$  兆电子伏)，此时已能甄別  $\gamma$  本底，因而可以只用線性脉冲一路。

由于探测器位于  $0^\circ$  方向，氘离子束在管道壁上产生的  $D(d, n)\text{He}^3$  管道中子也只能从正面（探测器对靶所張的立体角內）进入探测器。在用氘靶时，管道中子和靶上中子能量一致，因此，可以把管道中子作为入射中子束的一部分（根据空靶实验，管道中子約占 10%）；同时，由于提高了加速器的聚焦和穩定性能，管道中子也比較稳定，不影响  $\text{BF}_3$  长中子計數管对中子通量的監視。在用氘靶时，管道中子已全部被探测器的甄別閾切除；同时，氘靶中子产額比氘靶高得多，可以略去管道中子問題。

在中子源和探测器之間放一个吸收体，就可测出本底計数。吸收体由直径 3 厘米、长 30 厘米的銅棒制成。但是，由于用了吸收体，有部分本底中子也将被吸收体挡住而不能进入探测器，使得測量出的本底計数偏小。在靶室和探测器几何結構比較复杂的情况下，将导致明显的誤差。因此，需要仔細考慮精簡靶室和探测器的几何結構，以及选择适当的吸收体尺寸和吸收体与样品在源及探测器之間的位置。

### 3. 测 量 結 果

我們對銅、鉛、鈾等三种元素进行了測量，对于銅选用三个不同厚度的样品。为了減少測量过程中由于加速器和探测器不稳定而产生的誤差，在相同的監視計数下采用如下順序交替測量： $N_0, N, N_0, N_B; \dots$ （每个計数約四分鐘）。四个計数作为一輪，每个样品測 10 輪左右。将各輪的透射率加以平均，由式(1)得出全截面：

$$\sigma_t = \frac{-1}{nl} \ln T. \quad (2)$$

此时得到的  $\sigma_t$  还不是最后結果，尚須进行次級中子校正。在弹性散射 ( $n, n$ )、非弹性散射 ( $n, n'$ )、( $n, 2n$ ) 反应及裂变反应 ( $n, f$ ) 等項目中，弹性散射截面最大，而且在向前方向的分布又特別丰富，因此，仅需考慮这一項校正（亦称散入效应）。弹性散射校正为

$$\frac{\Delta\sigma_t}{\sigma_t} = \frac{L^2 S}{(L_1 L_2)^2} \frac{\sigma(0)}{\sigma_t} = \frac{(kR + 1)^2}{32} \left[ \frac{LD}{L_1 L_2} \right]^2, \quad (3)$$

这里  $\sigma(0)$  为  $0^\circ$  方向的弹性散射微分截面； $k$  为中子波数； $R$  为核半径； $S$  为样品的面积， $D$  为直径； $L = L_1 + L_2$ ， $L_1$  与  $L_2$  分别为样品到中子源和样品到探测器的距离。

實驗中主要的誤差來源为測量透射率时由于仪器和加速器不稳定以及計数的統計性而

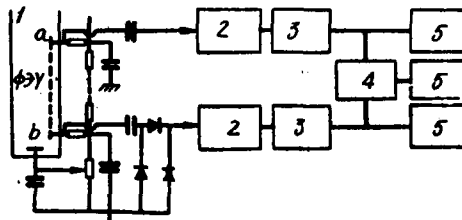


图 2 計數器繞路

1—光电倍加管；2—放大器；3—甄別器。  
4—符合綫路；5—定标器。  
a—光电倍加管第 8 个联极；b—光电倍加管  
第 13 个联极。

产生的誤差。實驗表明： $\frac{\Delta T}{T}$  約為 0.6% 左右。鑑於透射率誤差和截面誤差之間存在關係式：

$$\frac{\Delta \sigma_t}{\sigma_t} = \frac{1}{\ln T} \frac{\Delta T}{T}. \quad (4)$$

因此，由於測量時的不穩定和統計性引起的截面的誤差為 0.6—2.5%。其次，由於樣品不純和厚度不均勻而產生的誤差約 0.2%。

測量結果列于表中。

測 量 結 果

樣 品	測 量 結 果						
	$E_n = 2.8$ 兆電子伏			$E_n = 14.7$ 兆電子伏			
元素	厚 度, 毫 米	$T$	$\sigma_t^{\text{未校正}},$ $10^{-24}$ 厘米 $^2$	$\sigma_t^{\text{校正后}},$ $10^{-24}$ 厘米 $^2$	$T$	$\sigma_t^{\text{未校正}},$ $10^{-24}$ 厘米 $^2$	$\sigma_t^{\text{校正后}},$ $10^{-24}$ 厘米 $^2$
銅	28.15	0.478	3.10	$3.16 \pm 0.03$	0.514	2.80	$2.89 \pm 0.03$
	14.16	0.688	3.12	$3.18 \pm 0.08$	0.716	2.78	$2.87 \pm 0.07$
	48.01	0.285	3.09	$3.15 \pm 0.03$	0.322	2.30	$2.89 \pm 0.03$
鉛	30.04	0.485	7.30	$7.48 \pm 0.07$	0.604	5.08	$5.40 \pm 0.07$
鈾	10.01	0.704	7.51	$7.71 \pm 0.11$	0.774	5.49	$5.86 \pm 0.13$

從上表可以看到，三個銅樣品的測量結果在誤差範圍內符合得很好。由於實驗中採用了好的幾何條件及有機閃爍計數器的粒子分辨技術，實驗中僅剩下由牆壁和其他物体散射造成的散射中子本底（約 3%），並能正確扣除。對於透射率為 0.3—0.5 的樣品，實驗精確度可以達到  $\pm 1\%$ 。和文獻上發表的其他結果作過比較，在能量為 2.7 兆電子伏時，我們的結果和尼爾孫（N. Nereson）<sup>[11]</sup>的一致；能量為 14.7 兆電子伏時，文獻上發表的結果比較接近<sup>[7, 12-14]</sup>，和我們的結果也基本一致。

最後，作者對陸祖蔭同志的指導，傅增祜等同志在加速器運行和改進方面給予的大力協助，以及劉繼才同志在調整有機閃爍計數器的粒子分辨技術方面做的工作表示感謝。

### 參 考 文 獻

- [1] D. Hughes and R. Schwartz, Neutron cross sections, BNL-325, 2nd ed, 1958.
- [2] D. Hughes, B. Magurno and M. Brussel, Neutron cross sections, supplement No. 1 to BNL-325, 2nd ed, 1960.
- [3] J. M. Peterson, A. Bratenahl and J. P. Stoering, *Phys. Rev.*, **120**, 521 (1960).
- [4] D. W. Fossan, R. L. Walter, W. E. Wilson and H. H. Barschall, *Phys. Rev.*, **123**, 209 (1961).
- [5] Ю. В. Дукаревич, А. Н. Дюдин, Д. М. Каминкер, *ЖЭТФ.*, **43**, 1991 (1962).
- [6] J. L. Weil and K. W. Jones, *Phys. Rev.*, **110**, 466 (1958).
- [7] A. Bratenahl, J. M. Peterson and J. P. Stoering, *Phys. Rev.*, **110**, 927 (1958).
- [8] М. М. Халепский, *ДАН*, **113**, 305 (1957).
- [9] R. B. Owen, *Nucleonics*, **17**, No. 9, 92 (1959).
- [10] R. Batchelor, W. B. Gilboy, A. D. Purnell and J. H. Towle, *Nucl. Instr. and Methods*, **8**, 146 (1960).
- [11] N. Nereson and S. Darden, *Phys. Rev.*, **89**, 775 (1953).
- [12] J. H. Coon, E. R. Graves, and H. H. Barschall, *Phys. Rev.*, **88**, 562 (1952).
- [13] J. Vervier, A. Martegani, *Nucl. Phys.*, **6**, 260 (1958).
- [14] J. P. Conner, *Phys. Rev.*, **109**, 1268 (1958).

（編輯部收稿日期 1963 年 10 月 8 日）